



سنگ‌شناسی و سنگ‌زایی آمفیبولیت‌های موجود در مجموعه‌ی افیولیتی خوی- شمال غربی ایران

مروت فریدآزاد^{*}، محسن مؤید، منصور مجتهدی، محسن مؤذن

گروه زمین‌شناسی، دانشکده علوم طبیعی، دانشگاه تبریز، تبریز، ایران

(دریافت مقاله: ۸۸/۷/۱۹، نسخه نهایی: ۸۸/۱۱/۳)

چکیده: در مجموعه دگرگونی شمال خوی، سنگ‌های آمفیبولیتی حجم زیادی دارند. این سنگ‌ها از نظر سنگنگاری شامل انواع آمفیبولیت معمولی، آمفیبولیت موسکویت‌دار، آمفیبولیت بیوتیت‌دار، آمفیبولیت گارنت‌دار و آمفیبولیت پیروکسن‌دار هستند. بررسی پروتولیت این سنگ‌ها نشان دهنده خاستگاه آذرین آن‌هاست. هم‌چنین این سنگ‌ها از نظر ماغمایی در سری‌های توله ایتی و آهکی-قلیایی قرار می‌گیرند و نیز از نظر محیط زمین‌ساختی عموماً در دو محیط زمین‌ساختی بازالت کف اقیانوسی و قوسی قرار دارند. این دو محیط زمین‌ساختی متفاوت به روشنی در نمودارهای REE و عنکبوتی قابل جدایش‌اند، بهطوری که نمونه‌های مربوط به بازالت کف اقیانوسی نسبت به نمونه‌های قوس از شیب بیشتر و فراوانی LREE بالاتری برخوردارند. با توجه به اینکه محیط‌های زمین‌ساختی حوضه‌ی پشت قوس قاره‌ای می‌توانند ویژگی MORB و IA را هم زمان نشان دهند لذا ممکن است سنگ‌های آمفیبولیتی مورد بررسی در چنین محیط زمین‌ساختی به وجود آمده باشند.

واژه‌های کلیدی: آمفیبولیت، پروتولیت آذرین، سری‌های توله ایتی، خوی.

نظر گرفته شده‌اند [۵]. فلزات واسطه‌ی (Cr, Co, Ni, V) و Ta, Nb و REE در طول دگرگونی توسط [۶] نامتحرك در نظر گرفته شده‌اند. به طور کلی در بررسی ژئوشیمیایی سنگ‌های دگرگونی در رخساره‌ی شیست سبز و آمفیبولیت بهتر است از عناصر نامتحرك خصوصاً عناصر Ti و P و عناصر کمیاب Cr, Y, Zr, Ta, Nb و V و عناصر نادرخاکی (REE) استفاده کرد. هر چند استفاده از عناصر دیگر نیز در بررسی ژئوشیمیایی آمفیبولیت‌ها معمول است.

در این مقاله از تجزیه شیمیایی نمونه‌های آمفیبولیتی موجود در بخشی از افیولیت ملانژ خوی برای تعیین سنگ خاستگاه اولیه، ویژگی‌های سنگ‌شناسی و ژئوشیمیایی سنگ

مقدمه از آنجا که سیستم‌های دگرگونی از نظر ترمودینامیکی کاملاً بسته نیستند، استفاده از عناصر اصلی و فرعی در شناسایی نوع سنگ اولیه، سری ماغمایی و محیط زمین‌ساختی می‌باشد با احتیاط صورت گیرد، زیرا پدیده‌های هوازدگی و دگرگونی می‌توانند موجب تغییر ترکیب شیمیایی سنگ‌های اولیه شوند. به نظر [۱، ۲] عناصر Al, Ti, Ca, Si, K و Na در طول دگرگونی می‌توانند به صورت متحرك عمل کنند در حالی که عناصر P, Sc و Zr نسبتاً نامتحرك هستند. هم‌چنین عناصر Y, Cs, Sr, Ba, K و Rb که پتانسیل یونی بالایی دارند به عنوان عناصر متحرك در

سازنده‌ی آمفیبولیت‌ها استفاده می‌شود.

مادر اولیه، محیط زمین‌ساختی تشکیل گابرو یا بازالت‌های

* نویسنده مسئول، تلفن: ۰۹۱۴۳۰۰۵۳۹۱، نامبر: ۳۳۵۶۰۲۷ (۰۴۱۱)، پست الکترونیکی: M_faridazad@yahoo.com

(شکل ۱). این گستره، بخشی از مجموعه‌ی افیولیتی شمال

روش‌ها

غربی ایران (افیولیت ملاتر خوی- ماکو) بوده و به مجموعه دگرگونی شرقی [۹] این مجموعه وابسته است. مجموعه دگرگون شرقی دارای روند شمال غربی- جنوب شرقی بوده و برپایه‌ی بررسی‌های [۹] در حاشیه‌ی شمال شرقی، با حاشیه‌ی بلوک ایران مرکزی تماس زمین‌ساختی داشته و در راستای جنوب غربی روی آن رانده شده است. در حاشیه‌ی جنوب غربی- آن، سنگ‌های دگرگونی روی توربیدیات‌ها و سری‌های رسوبی- آتشفسانی افیولیت نادگرگون رانده شده‌اند. این زون دگرگون شده دارای بخش‌های زمین‌ساختی گستردگی از افیولیت‌های دگرگون شده است که بیشتر شامل پریدوتیت‌های سرپانتینی شده با متاگابروهای همراه آن‌ها هستند. این همبافت شامل واحدهای زیراست [۹]:

پس از بررسی‌های صحرایی و برداشت نمونه، نسبت به تهیه مقاطع میکروسکوپی و بررسی آنها اقدام شد و از نمونه‌هایی که کمترین دگرسانی را نشان می‌دادند، ۷ نمونه برای تعیین شیمی عناصر اصلی و کمیاب در آن‌ها، با دستگاه ICP-MS به شرکت ALS CHEMEX (کانادا) ارسال شدند. هم چنین از داده‌های [۸,۷] که بهروش تجزیه فلوروسانی پرتو ایکس (XRF) انجام گرفته بود، استفاده شد. نتایج آنالیز نمونه‌ها در جدول (۱) ارائه شده‌اند.

زمین‌شناسی منطقه‌ی مورد بررسی
منطقه‌ی مورد بررسی در شمال غربی ایران و بین مختصات جغرافیایی "۲۲' ۲۲" ۳۷' ۳۸" ۳۸° ۵۴' ۳۸° عرض شمالی و "۰' ۳۶' ۴۴" ۰۱' ۵۷' ۴۴° طول شرقی در استان آذربایجان غربی و در شمال شهر خوی واقع شده است

جدول ۱ تجزیه عناصر اصلی، کمیاب و نادرخاکی نمونه‌های آمفیبولیتی از منطقه شمال خوی. نمونه‌های M-109، M-126، M-129، M-312، M-319، M-316، M-313، M-311-amp، mt8-amp، mt7-amp، mt1-amp با توسط [۷] با دستگاه ICP- AES و بقیه نمونه‌ها توسط [۸] با دستگاه XRF مورد تجزیه قرار گرفته است.

M-109	M-126	M-129	M-312	M-313	M-316	M-319	mt1-amp	mt7-amp	mt8-amp	mt11-mp	TM4A	TM10C
اکسید‌های اصلی (درصد وزنی)												
SiO ₂	۴۷	۴۵	۴۸/۲	۴۷/۳	۵۲	۵۱/۴	۴۷	۵۴/۴	۴۷/۱	۴۸/۴	۴۸/۶	۴۸/۹
TiO ₂	۰,۳۷	۱,۲۲	۰,۲۴	۱,۶۸	۱,۳۶	۱,۹۴	۱,۴۸	۱,۹۷	۰,۷۵	۱,۵۷	۱,۷۱	۱,۳۵
Al ₂ O ₃	۱۷,۲	۱۶,۱	۱۴,۵	۱۴,۹	۱۵,۶	۱۳,۸	۱۵,۳	۱۴,۱	۱۶,۶۳	۱۴,۴	۱۳,۸	۱۴,۳
Cr ₂ O ₃	۰,۰۵	۰,۰۳	۰,۱۸	۰,۰۳	۰,۰۴	۰,۰۲	۰,۰۵					۱۲,۱
Fe ₂ O ₃	۲,۸۲	۵,۴۴	۲,۴۱	۵	۳,۷۳	۵,۸۳	۵,۲۳	۶,۵	۳,۹۶	۵,۹۸	۷,۱	۴,۶۳
FeO	۴,۵۲	۵,۶۷	۴,۲۷	۵,۵۸	۵,۰۷	۵,۸۱	۵,۶۳	۵,۹۳	۵,۱۶	۵,۸۳	۶,۰۲	۵,۴۷
CaO	۱۳,۳	۱۱,۱	۱۲,۸	۱۱,۶	۹,۲۶	۷,۷۴	۱۱,۱	۷,۷	۱۰,۴	۱۰,۲	۱۰,۵	۹,۳۴
MgO	۸,۰۷	۷,۶۳	۱,۱	۷,۷۵	۶,۲۶	۵,۴	۷,۷۹	۶,۹۸	۷,۳	۷,۱۲	۷,۱۲	۷,۴۸
Na ₂ O	۲,۷۸	۲,۸	۱,۶۸	۲,۷۳	۲,۳۷	۳,۱۹	۲,۶۲	۲,۱۱	۲,۲۳	۳	۲,۸۴	۲,۳۶
K ₂ O	۰,۱۶	۰,۱۷	۰,۰۷	۰,۷۷	۰,۷۵	۰,۸۵	۰,۷۶	۰,۷۲	۱,۰۶	۰,۱۸	۰,۲۴	۲,۲۲
MnO	۰,۱۳	۰,۱۹	۰,۱۱	۰,۲	۰,۱۵	۰,۲۳	۰,۱۹	۰,۲۲	۰,۱۷	۰,۲	۰,۲۱	۰,۱۸
P ₂ O ₅	۰,۰۱	۰,۰۲	۰,۰۱	۰,۲۵	۰,۱۶	۰,۲۶	۰,۱۶	۰,۴۵	۰,۰۸	۰,۱۷	۰,۱	۰,۱۴

LOI	۳,۰۲	۳,۳	۳,۵۸	۰,۸۷	۱,۱۷	۱,۲۷	۰,۹۶	۰,۶۴	۲,۱۶	۱,۲	۰,۶۵	۲,۰۸	۱,۵۱
Total	۹۹,۹۳	۹۸,۶۷	۹۹,۱۵	۹۸,۶۶	۹۸,۹۲	۹۷,۷۴	۹۸,۲۷	۱۰,۷۲	۹۷	۹۸,۲۵	۹۸,۸۹	۹۸,۴۵	۹۸,۸۱

ادامه جدول ۱

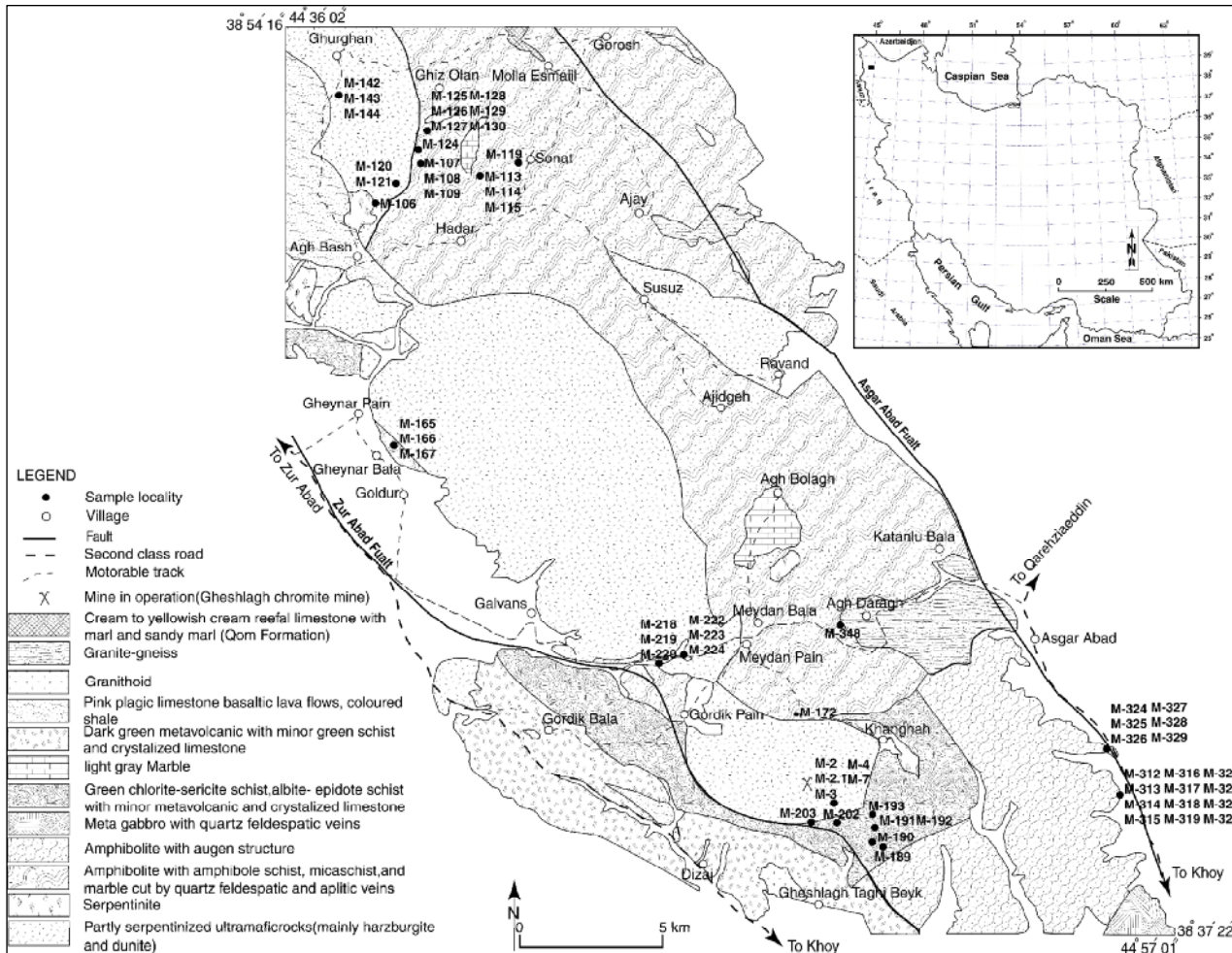
	M-109	M-126	M-129	M-312	M-313	M-316	M-319	mt1-amp	mt7-amp	mt8-amp	mt11-mp	TM4A	TM10C
عناصر کمیاب (پی پی م)													
Ba	۲۵,۲	۴۸,۵	۱۹,۵	۹۹,۷	۱۷۸	۲۱۴	۱۶۲	۲۲۷	۲۱۸	۲۶	۶۱	۳۹۵	۱۰
Ce	۱,۳	۴,۵	۱,۸	۲۴,۷	۲۵,۵	۳۶,۶	۲۳	۶۱	۷,۸	۱۴	۷,۵		
Co	۴۲,۴	۴۵,۲	۳۸,۷	۴۸,۷	۳۹,۲	۳۴,۴	۴۴,۹	۲۹	۴۹	۳۸	۴۶		
Cr	۲۳۰	۲۱۰	۱۲۸۰	۲۶۰	۳۳۰	۱۳۰	۳۶۰	۱۱۶	۴۰۰	۲۰۰	۱۱۸	۳۰۳	۱۰۱۹
Cs	۰,۴	۰,۳۵	۰,۱۲	۰,۲۳	۰,۵۶	۰,۳۳	۰,۴۹						
Dy	۱,۸۹	۲,۳	۱,۳۴	۵,۳۱	۴,۵۲	۸,۲۲	۴,۹۹	۱۰,۵	۳,۲۵	۶,۵۵	۴,۵۵		
Er	۱,۲۱	۲,۱۷	۰,۸۹	۳,۱۶	۲,۵۷	۴,۹۸	۲,۹۸	۵,۸	۲	۴,۱	۲,۷		
Eu	۰,۴۴	۰,۸۲	۰,۳۵	۱,۶۴	۱,۳۲	۲,۰۱	۱,۳۲	۲,۷۶	۰,۸۵	۱,۴۸	۱,۲۳		
Gd	۱,۲۲	۲,۳۴	۱,۰۷	۴,۹۹	۴,۲	۷,۲۷	۴,۴	۱۰,۵	۳	۵,۵	۳,۷		
Hf	۰,۴	۱	۰,۲	۳	۲,۸	۵,۲	۳						
Ho	۰,۴۳	۰,۷۱	۰,۲۶	۱,۱	۰,۹۳	۱,۷۳	۱,۰۶						
La	۰,۹	۲,۲	۰,۵	۱۱	۱۱,۸	۱۵,۸	۱۰,۷	۲۷,۵	۳,۲	۵,۵	۲,۷		
Lu	۰,۱۶	۰,۲۹	۰,۰۷	۰,۳۹	۰,۳۳	۰,۷	۰,۴						
Nb	۰,۲	۱,۱	۰,۲	۶,۶	۶,۵	۱۲,۸	۶,۵	۱۷	۱,۸	۴,۶	۳	۵	۸
Nd	۱,۷	۴,۴	۲	۱۵,۹	۱۴,۷	۲۲,۹	۱۴,۳	۳۸	۵,۷	۱۱,۵	۷		
Ni	۱۳۱	۱۱۳	۲۱۲	۴۵	۴۱	۴۶	۴۸	۴۴	۱۵۰	۷۵	۶۲	۶۳	۹۲
Pb	۱۹	۷	۱۱	۱۶	۹	۹	۶						
Pr	۰,۲۴	۰,۷۸	۰,۲۹	۳,۵۳	۳,۴۴	۵,۱۹	۳,۲۲						
Rb	۲,۵	۲,۴	۱,۳	۱۲,۶	۱۶,۶	۱۵,۳	۱۲,۹	۲۶,۵	۳۴,۵	۲,۱	۳	۸۵	۱۰
Sm	۰,۷۸	۱,۶۹	۰,۶۳	۴,۴۷	۳,۷۴	۶,۱۴	۳,۸۷	۹,۲	۲	۳,۷۵	۲,۷		
Sr	۲۱۲	۱۹۶	۱۳۸	۲۱۰	۲۹۴	۲۳۵	۱۸۷	۱۶۳	۱۰۸	۱۵۰	۱۳۶	۲۹۶	۱۶۶
Ta	۰,۱	۰,۱	۰,۱	۰,۵	۰,۵	۱	۰,۵						
Tb	۰,۲۷	۰,۴۸	۰,۱۷	۰,۸۹	۰,۷۲	۱,۳	۰,۷۸						
Tm	۰,۱۷	۰,۳۱	۰,۱۱	۰,۴۳	۰,۳۵	۰,۷	۰,۴۲						
V	۱۷۹	۴۱۳	۱۸۰	۲۳۸	۲۷۵	۲۱۶	۲۰۲	۲۲۵	۱۹۵	۲۲۰	۴۳۰	۲۵۷	۱۹۴
Y	۱۱,۸	۱۹,۹	۸,۲	۲۱,۱	۲۵,۷	۴۱,۵	۲۹,۷	۶۴	۲۰,۵	۴۱	۲۷,۵	۳۳	۱۰
Yb	۱,۰۵	۱,۸۹	۰,۷۵	۲,۵۹	۲,۱۹	۴,۴۹	۲,۵۷	۵,۶	۱,۹۶	۴,۱	۲,۶۲		
Zr	۹	۲۷	۸	۱۱۵	۱۰۴	۱۸۲	۱۱۲	۴۸	۱۵	۲۲	۱۹	۱۰۷	۲۷

	TM34H	TM5B	TM29A	TM1B	TM6B	TM4C	TM4B	TM31A	TM26D	TM34A	TM35A	TM2B	TM5A	TM33A
اکسید‌های اصلی (درصد وزنی)														
SiO ₂	۴۸,۸	۴۷,۹	۴۹,۱	۴۹,۲	۴۹,۷	۵۰,۸	۵۰,۳	۴۹,۸	۴۴,۵	۵۰	۴۶	۴۸,۷	۴۸,۵	۴۷,۲
TiO ₂	۰,۳	۱,۹۳	۱,۳۷	۰,۱۷	۲	۰,۲	۰,۳۹	۰,۲۸	۱,۸۲	۰,۶	۰,۰۸	۰,۱۸	۳,۰۸	۰,۹۱
Al ₂ O ₃	۱۷	۱۵,۱	۱۴,۴	۲۴,۱	۱۴,۴	۱۳,۷	۱۳,۸	۱۸,۱	۱۵,۴	۱۵,۱	۲۰,۹	۲۴,۳	۱۲,۸	۱۲,۴
Fe ₂ O _۳	۱,۹۹	۵,۲۷	۴,۵۷	۰,۷۱	۵,۸۹	۴,۰۳	۳,۰۴	۱,۹۱	۶,۲۳	۳,۴۱	۲	۰,۷۱	۴,۰۹	۷,۱۲
FeO	۳,۱۸	۵,۶۵	۵,۴۵	۲,۰۴	۵,۸۱	۵,۲۵	۴,۷۳	۲,۷۶	۵,۸۶	۴,۹۲	۳,۸	۲,۰۳	۵,۴۹	۶,۰۵
CaO	۱۲,۸	۹,۹۷	۹,۰۷	۱۱,۶	۹,۰۸	۹,۸۹	۱۰	۱۰,۸	۶,۲۵	۱۰,۸	۱۰,۴	۱۳,۸	۱۰,۳	۱۰,۶
MgO	۹,۲۹	۸,۶۱	۷,۴۶	۵,۲۸	۵,۸۶	۹,۰۴	۹,۳۱	۸,۶۳	۱۱,۱	۸,۴۵	۸,۸۳	۴,۳۱	۷,۱۵	۹,۳۸
Na ₂ O	۲,۳۷	۲,۴۲	۲,۴۲	۲,۴۸	۲,۳۳	۳,۱۲	۳,۱۴	۳,۴۱	۲,۳۸	۲,۹۸	۲,۳	۲,۵۱	۳,۳۳	۲,۶
K ₂ O	۰,۳۱	۰,۶	۲,۲۶	۱	۱,۲۷	۰,۶۲	۰,۵۵	۰,۱۱	۱,۳۴	۰,۳۴	۰,۴۵	۰,۳۹	۱,۱۸	۰,۲۵
MnO	۰,۱	۰,۱۷	۰,۱۸	۰,۰۵	۰,۲۵	۰,۲۱	۰,۱۵	۰,۱۲	۰,۴۳	۰,۱۶	۰,۱۲	۰,۰۵	۰,۱۸	۰,۲۲
P ₂ O _۵	۰,۰۳	۰,۲۵	۰,۱۴	۰,۰۳	۰,۳	۰,۰۳	۰,۰۲	۰,۲۶	۰,۰۷	۰,۰۲	۰,۰۳	۰,۲۷	۰,۱۳	
LOI	۱,۷۵	۱,۶۴	۲,۱۱	۲,۲۳	۱,۶۶	۱,۸۷	۲,۱۲	۱,۷۷	۳,۲۹	۱,۶۹	۴,۰۳	۱,۹۷	۱,۷۵	۱,۶۵
Total	۹۸,۶	۹۸,۵۱	۹۸,۵۳	۹۸,۸۹	۹۸,۵۵	۹۸,۷۳	۹۸,۵۶	۹۸,۷۱	۹۸,۸۶	۹۸,۵۲	۹۸,۹۳	۹۸,۹۸	۹۸,۶	۹۸,۵۱

	عناصر کمیاب (پی پی م)													
Ba	۲۵	۲۱۵	۳۹۶	۱۲۱	۵۲۷	۴۳	۶۲	۹	۱۶۲	۳۳	۱۱۳	۵۶	۲۰۴	۱۶
Cr	۷۸۲	۲۱۸	۳۰۴	۲۷۲	۱۴۸	۱۳۸	۲۶۴	۲۳۹	۴۳۷	۱۴۸	۱۹	۲۱۴	۳۰۳	۳۵۰
Nb	۳	۱۴	۶	۵	۱۲	۵	۵	۵	۱۲	۵	۵	۵	۳۵	۱۰
Ni	۱۵۷	۵۶	۶۸	۳۴	۵۴	۴۴	۳۶	۱۰۰	۲۴۵	۵۵	۹۵	۵۱	۱۰۴	۱۴۳
Rb	۱-	۱۰	۸۶	۳۵	۲۶	۹	۸	۸	۴۵	۸	۹	۹	۱۴	۹
Sr	۲۹۹	۲۹۶	۳۰۲	۲۶۱	۲۶۲	۱۳۹	۱۲۷	۲۴۵	۷۷	۱۵۶	۲۴۸	۲۱۹	۴۳۴	۸۴
V	۱۴۵	۲۸۶	۲۵۵	۷۴	۲۸۴	۱۶۳	۲۱۹	۱۵۰	۲۷۳	۱۹۹	۱۰۳	۹۳	۲۴۳	۱۸۷

Y	۸	۲۵	۳۰	۱۱	۴۷	۴۷	۱۳	۱۱	۳۱	۲۳	۸	۸	۲۹	۲۷
Zr	۱۷	۱۲۸	۱۰۸	۲۰	۲۰۹	۲۵	۲۲	۲۰	۱۳۲	۵۹	۲۷	۱۸	۱۴۶	۶۶

LOI= Loss on Ignition



شکل ۱ نقشه زمین‌شناسی منطقه‌ی مورد بررسی و مکان‌های نمونه برداری از سنگ‌های آمفیبولیتی، با تغییرات از [۲۱].

گرانیت‌های میلیونیتی شده در نظر گرفته شده‌اند. زیر واحد (۳) شامل شیسته‌های سبز، متاولکانیک‌ها، متانکارامیت بوده و زیر واحد (۴) شیسته‌های سبز درجه پایین‌تر را نشان می‌دهد.

قطعات زمین‌ساختی متا افیولیتی

قطعات زمین‌ساختی بزرگ سنگ‌های مافیک و اولترامافیک در میان مجموعه دگرگونی شرقی دیده می‌شوند که تماس‌های زمین‌ساختی سامانمند با واحدهای مختلف نشان می‌دهد. با وجود زمین‌ساختی شدید، این سنگ‌ها شامل مجموعه‌ی متافیولیتی جدا از هم^۱ هستند که شامل متانکتونیت‌ها (هارزبورگیت‌ها و دونیت‌ها)، متاکومولیت‌ها (دونیت‌ها،

واحد دگرگونی شرقی

این واحد بخشی از مجموعه دگرگونی شرقی بوده و خود به ۴ واحد فرعی به ترتیب زیر تقسیم شده است:

واحد واحد (۱) شامل میکاشیست، آمفیبولیت‌ها و گنیس زیر واحد (۲) شامل آمفیبولیت‌های ریزدانه همراه با متاکوارتزیت و گنیس‌های لپتینیتی بوده و قطعات زمین‌ساختی بزرگی از سنگ‌های برگسان افیولیتی شامل لرزولیت برگسان و تکتونیت‌های هارزبورژیتی و نیز متاکومولاھای اولترامافیک در آن‌ها وجود دارد. به همراه این سنگ‌ها، سیل‌ها و دایک‌های فراوانی از متاگابروها (آمفیبولیت‌ها) دیده می‌شوند [۹]. بنابر بررسی‌های انجام یافته توسط [۱۰]، گنیس‌های یاد شده،

سنگ‌های دگرگونی (آمفیبولیت‌ها) در زمان فروزانش پوسته‌ی اقیانوسی حوضه‌ی خوی به زیر بلوک ایران مرکزی، به وجود آمده‌اند.

سنگنگاری

آمفیبولیت‌ها از گسترده‌گی بیشتری در منطقه‌ی مورد بررسی، به ویژه در بخش‌های شرقی و شمال شرقی، برخوردارند و در برخورد با سنگ‌های اولترامافیک سرپانتینی شده، گرانیتوئیدها و شیسته‌ها قراردارند (شکل ۱) و برپایه‌ی بررسی‌های مقاطع میکروسکوپی، آن‌ها را می‌توان به دو گروه کلی رده‌بندی کرد. جدول (۳) مجموعه‌ی کانی‌های موجود در سنگ‌های آمفیبولیتی را نشان می‌دهد.

متاگابروهای نواری و هورنبلندیت‌ها) و انواع مختلف آمفیبولیت‌های ریز دانه و متانکارامیت‌اند. این سنگ‌ها در مناطق مختلف با سیل‌ها و دایک‌های گسترده و یا توده‌های نفوذی کوچکی از متاگابروها قطع شده‌اند.

توده‌های آمفیبولیتی مورد بررسی با گسترده‌ی در تماس با شیسته‌ها و اولترامافیک‌ها در درون این مجموعه دگرگونی قرار گرفته‌اند. سال سنجی‌های انجام شده توسط [۹] روی آمفیبول‌های موجود در نمونه‌های آمفیبولیتی در مناطق قرخ یاشار و حیدرآباد، دامنه‌ی سن ظاهری گسترده‌ای را نشان می‌دهند که حاکی از تاریخچه‌ی دگرگونی طولانی چند مرحله‌ای آن‌هاست. براساس این سال سنجی، نمونه‌ی حیدرآباد مربوط به زمان ژوراسیک زیرین و نمونه‌های قرخ یاشار به زمان کرتاسه زیرین بستگی دارد (جدول ۲). بنابر بررسی‌های [۹] این

جدول ۲ سن سنجی ایزوتوبی انجام شده بر روی تعدادی از نمونه‌های آمفیبولیتی منطقه از [۹].

محل نمونه برداری	مختصات	سن بدست آمده به روش $^{40}\text{K}/^{40}\text{Ar}$ به میلیون سال
قرخ یашار	$44^{\circ} 52' 45''$ $38^{\circ} 38' 10''$	$121/2 \pm 6/2$
قرخ یاشار	$44^{\circ} 53' 50''$ $38^{\circ} 37' 50''$	$151 \pm 11/5$
حیدرآباد	$43^{\circ} 55' 00''$ $38^{\circ} 42' 40''$	$186/3 \pm 10/7$

جدول ۳ مجموعه کانی‌های موجود در سنگ‌های آمفیبولیتی مورد بررسی. X: کانی اصلی، O: کانی باقیمانده، A: محصول دگرسان، Opa: کانیهای کدر، Car: کربنات، Clay: کانی‌های رسی.

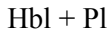
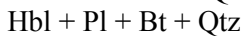
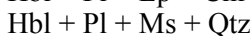
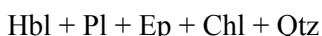
No. Samp.	G.R.	Pl	Grt	Hbl	Act-Tr	Qtz	Cpx	Ms	Bt	Chl	Ep	Ser	Clay	Tlc	Ttn	Car	Opa	نوع سنگ
M-002	$38^{\circ} 39' 35.9''$ $44^{\circ} 48' 54.8''$	X	X		O			O	O	A	A		O		A	A	آمفیبولیت	
M-002/1	$38^{\circ} 39' 35.9''$ $44^{\circ} 48' 54.8''$	X	X		X			O	O	A	A		A		O	O	آمفیبولیت	
M-003	$38^{\circ} 39' 35.9''$ $44^{\circ} 48' 54.8''$	X	X	A	O			O	O	A	A		O	A	A	A	آمفیبولیت	
M-004	$38^{\circ} 39' 33.6''$ $44^{\circ} 48' 51.7''$	X	X	A	O				A	A	A		O		A	A	آمفیبولیت	
M-007	$38^{\circ} 39' 33.6''$ $44^{\circ} 48' 51.7''$	X	X		O			O	O	A	A		O		A	A	آمفیبولیت	
M-008	$38^{\circ} 39' 33.6''$ $44^{\circ} 48' 51.7''$	X	X	A	O				A	A	A		O		A	A	آمفیبولیت	
M-105	$38^{\circ} 49' 33.2''$ $44^{\circ} 37' 11''$	X	X	A	O							A	A			A	آمفیبولیت	
M-106	$38^{\circ} 51' 0.55''$ $44^{\circ} 38' 11''$	X	X	A	O	R			O		A	A			A	A	آمفیبولیت	
M-109	$38^{\circ} 51' 47.2''$ $44^{\circ} 38' 59.3''$	X	X	A	O	R			O		A	A			A	A	آمفیبولیت	
M-126	$38^{\circ} 52' 13.8''$ $44^{\circ} 39' 07.9''$	X	X		O			O	A		A		A		O	O	آمفیبولیت	

M-127	۳۸°۵۲'۱۳.۸" ۴۴°۳۹'.۷.۹"	X	X	O		O	A	A	A	A	A	آمفیبولیت
M-129	۳۸°۵۲'۱۳.۸" ۴۴°۳۹'.۷.۹"	X	X	A	O R		A	A		O	O	آمفیبولیت
M-130	۳۸°۵۲'۱۳.۸" ۴۴°۳۹'.۷.۹"	X	X	A		O	O	A	A		A	آمفیبولیت
M-150	۳۸°۴۹'۵۹.۱" ۴۴°۳۶'.۱"	X	X	O		A	A	A	A	A	A	آمفیبولیت
M-165	۳۸°۴۶'۲۷.۸" ۴۴°۲۸'.۱"	X	X	O		O	O	A	A	O	A	آمفیبولیت
M-189	۳۸°۳۸'۵۹.۲" ۴۴°۴۹'۵۵.۱"	X	X	O						O	O	آمفیبولیت
M-191	۳۸°۳۹'۱۵.۹" ۴۴°۴۹'۴۴.۸"	X	X	O		O	O	A	A	O	A	آمفیبولیت
M-203	۳۸°۳۹'۲۴.۶" ۴۴°۴۸'.۱۷.۱"	X	X	A	O	O	O	A	A	O	O	آمفیبولیت
M-218	۳۸°۴۲'۲۴.۶" ۴۴°۴۴'۴۷.۵"	X	X	A	O	O	O	A	A	O	A	آمفیبولیت
M-223	۳۸°۴۲'۲۰.۶" ۴۴°۴۵'۱۸"	X	X	O		O	O	A	A	O	A	آمفیبولیت
M-300	۳۸°۳۷'۱۴.۳" ۴۴°۵۷'.۹.۲"	X	X	X		O	A	A		O	O	آمفیبولیت
M-310	۳۸°۳۹'۵۳.۹" ۴۴°۵۵'۴۵.۱"	X	O	X	X				A		A	گارنت آمفیبولیت
M-312	۳۸°۳۹'۵۳.۹" ۴۴°۵۵'۴۵.۱"	X	O	X		O						گارنت آمفیبولیت
M-313	۳۸°۳۹'۵۳.۹" ۴۴°۵۵'۴۵.۱"	X	O	X	X	O			O		O	گارنت آمفیبولیت
M-314	۳۸°۳۹'۵۳.۹" ۴۴°۵۵'۴۵.۱"	X	X	X	O					O		آمفیبولیت
M-315	۳۸°۳۹'۵۳.۹" ۴۴°۵۵'۴۵.۱"	X	O	X	X		A	A	A	O		گارنت آمفیبولیت
M-316	۳۸°۳۹'۵۳.۹" ۴۴°۵۵'۴۵.۱"	X	O	X	X	O	A	A		O	O	گارنت آمفیبولیت
M-317	۳۸°۳۹'۵۳.۹" ۴۴°۵۵'۴۵.۱"	X	O	X	X				O		O	گارنت آمفیبولیت
M-318	۳۸°۳۹'۵۳.۹" ۴۴°۵۵'۴۵.۱"	X	O		X	O	A	A		O	O	گارنت آمفیبولیت
M-319	۳۸°۳۹'۵۳.۹" ۴۴°۵۵'۴۵.۱"	X	O	X	X O		A			O	O	گارنت آمفیبولیت
M-321	۳۸°۳۹'۵۳.۹" ۴۴°۵۵'۴۵.۱"	X	O	X	X		A			O	O	گارنت آمفیبولیت
M-326	۳۸°۴۰'۳۸.۸" ۴۴°۵۵'۳۴.۹"	X	O	X	X		A	A		O	O	گارنت آمفیبولیت
M-327	۳۸°۴۰'۳۸.۸" ۴۴°۵۵'۳۴.۹"	X	O	X	X		A		O	O	O	گارنت آمفیبولیت
M-329	۳۸°۴۰'۳۸.۸" ۴۴°۵۵'۳۴.۹"	X	O	X	X	O	A		O	O	O	گارنت آمفیبولیت
M-348	۳۸°۴۱'۹.۹" ۴۴°۴۸'۵۲.۹"	X	X	X		O	O		O	O	O	آمفیبولیت

ساخت خطواره و بدون آن تقسیم می‌شوند و حتی در برخی نمونه‌ها ساخت نواری (نوارهای متناوبی از آمفیبول و فلدوپار) (شکل a-۲) و در پاره‌های ساخت چشمی نیز دیده می‌شود

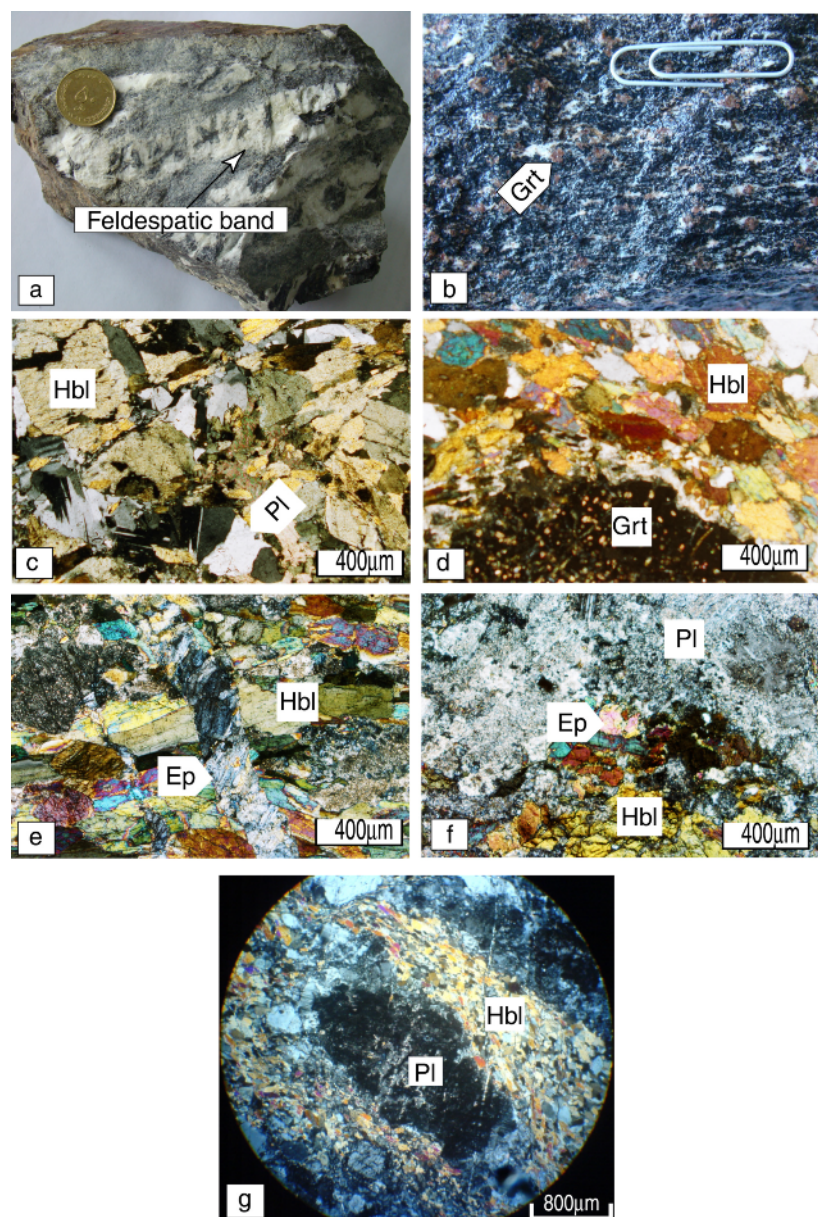
سنگنگاری آمفیبولیت‌های بدون گارنت این گروه از آمفیبولیت‌ها بخش‌های گستردگی از مناطق آمفیبولیتی را به خود اختصاص داده‌اند و خود به دو دسته با

مقاطع نازک زیادی که از این آمفیبولیت‌ها صورت گرفته است، انواع پاراژنژهای زیر تشخیص داده شده‌اند.



(شکل ۲-g). در نمونه‌ی دستی، این سنگ‌ها به رنگ خاکستری بوده که در نمونه‌های بدون سمت‌یافتنگی خطی، بافت توده‌ای نشان می‌دهند و در نمونه‌هایی که ساخت نواری دارند، لایه‌های تیره و روشن در آن‌ها دیده می‌شوند (جدایش دگرگونی) (شکل ۲-a).

مجموعه کانی‌های این سنگ‌ها عبارتند از پلازیوکلاز، هورنبلند \pm کوارتز \pm موسکویت \pm بیوتیت \pm کلریت \pm اپیدوت \pm تیتانیت \pm کانی‌های کدر. بر پایه‌ی بررسی‌های میکروسکوپی روی



شکل ۲ تصاویر مacroscopic و میکروسکوپی از آمفیبولیت‌های مورد بررسی: a. نمونه‌ی دستی آمفیبولیت بدون گارنت با نوارهای فلدسپاتی. b. نمونه‌ی دستی یک گارنت آمفیبولیت و بلورهای گارنت تشکیل شده در آن. c. تصویر میکروسکوپی از یک نمونه آمفیبولیت بدون گارنت با بلورهای آمفیبول و پلازیوکلاز در آن، XPL. d. تصویر میکروسکوپی از یک نمونه گارنت آمفیبولیت با بلوردرشت گارنت و بلورهای آمفیبول موجود در

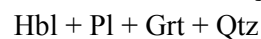
آن، XPL. e. تشکیل رگه اپیدوت در آمفیبولیت بدون گارنت، XPL. f. تماس لایه‌ی غنی از آمفیبول و لایه‌ی غنی از پلازیوکلاز در آمفیبولیت بدون گارنت، XPL. g. پروفیروکلاست چشمی پلازیوکلاز در آمفیبولیت چشمی (Augen amphibolite)، XPL.

شیمیابی پارا-آمفیبولیت‌ها که خاستگاه تنهنشستی دارند، متفاوت است ([۱۱، ۲]. برای شناسایی پروتولیت آمفیبولیت‌های بررسی شده (ارتو- و یا پارا-) از نمودار TiO_2 نسبت به Cr [۱۲] استفاده شده است (شکل ۳).

به طوری که از شکل پیداست، نمونه‌های منطقه‌ی مورد بررسی پروتولیت آذرین داشته و از نوع ارتو-آمفیبولیت‌اند. بررسی‌های بافتی و کانی‌شناسی نیز این ادعا را تأیید می‌کنند. با توجه به آذرین بودن پروتولیت آمفیبولیت‌ها، برای تعیین نوع سنگ مادر آذرین از نمودار Nb/Y نسبت به Zr/Ti (عناصر Zr/ TiO_2) به نقل از [۱۳] (شکل ۴) و نیز از نمودار Zr/TiO_2 نامتحرک (شکل ۵) استفاده شد. به طوری که در نسبت به SiO_2 از [۱۴] (شکل ۵) استفاده شد. به طوری که در این دو شکل دیده می‌شود، پروتولیت آذرین آمفیبولیت‌های بررسی شده در هر دو نمودار در گستره‌ی بازالت قرار می‌گیرند. برخی از نمونه‌های آمفیبولیت درشت بلور بوده و از سنگ‌های گابرویی تشکیل شده‌اند. ولی با توجه به یکسان بودن ترکیب ماقمای بازالتی و گابرویی، در این بخش تنها از نمودار سنگ‌های خروجی برای تعیین پروتولیت اولیه استفاده شده است که می‌توان معادل درونی آن‌ها را در مورد سنگ‌های درشت بلور نظر گرفت.

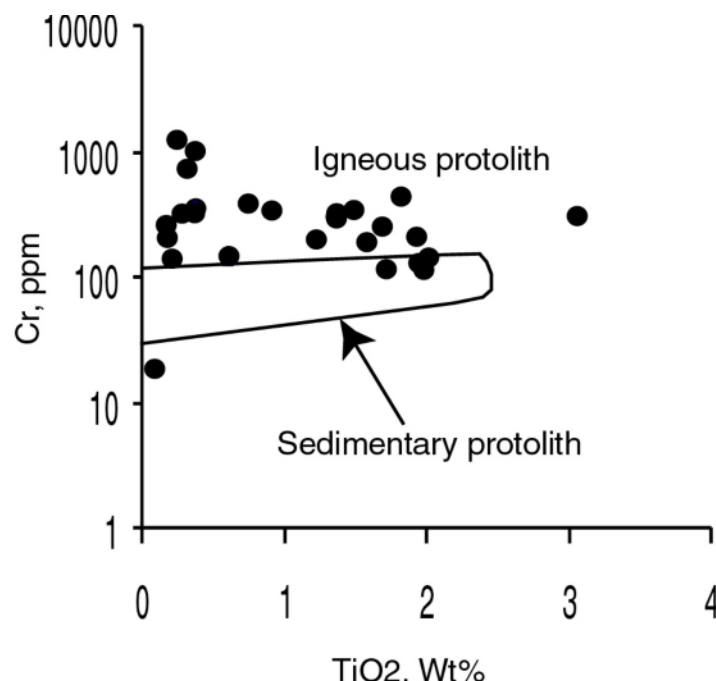
سنگ‌نگاری آمفیبولیت‌های گارنت‌دار

این گروه از آمفیبولیت‌ها با گستردگی خیلی کمتری نسبت به آمفیبولیت‌های بدون گارنت بوده و تنها در مسیر خوی- عسگر آباد رخمنون دارند (شکل ۱). در نمونه‌ی دستی درشت دانه بوده و بلورهای درشت گارنت در آن‌ها به خوبی دیده می‌شوند (شکل ۲-۲). در این نوع آمفیبولیت‌ها ساخت نواری (نووارهای متناوب آمفیبول‌ها و پلازیوکلازها با کوارتزها همراه با گارنت‌ها دیده می‌شوند) (شکل ۲-۲). مجموعه‌ی کانی‌های این سنگ‌ها عبارتند از: پلازیوکلاز، هورنبلنده، کوارتز، گارنت \pm بیوتیت \pm کلینوپیروکسن \pm اپیدوت \pm کلریت \pm تیتانیت \pm کانی‌های کدر. براساس بررسی‌های مقاطع میکروسکوپی این سنگ‌ها می‌توان پارازیت‌های زیر را در آن‌ها شناسایی کرد.

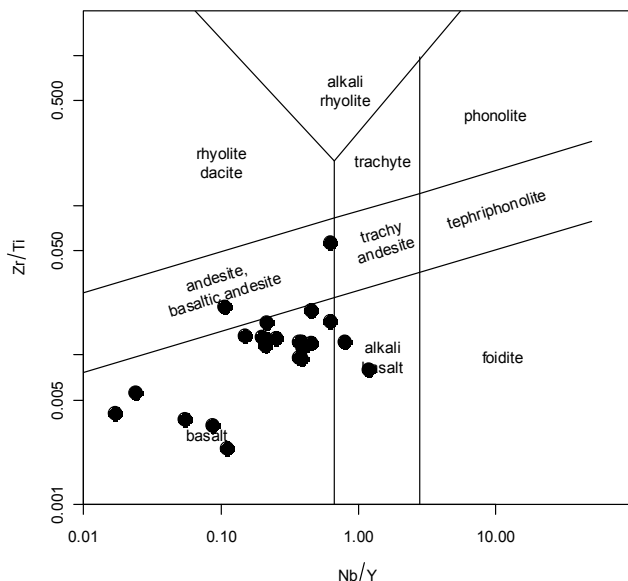


بررسی پروتولیت آمفیبولیت‌های منطقه‌ی مورد بررسی

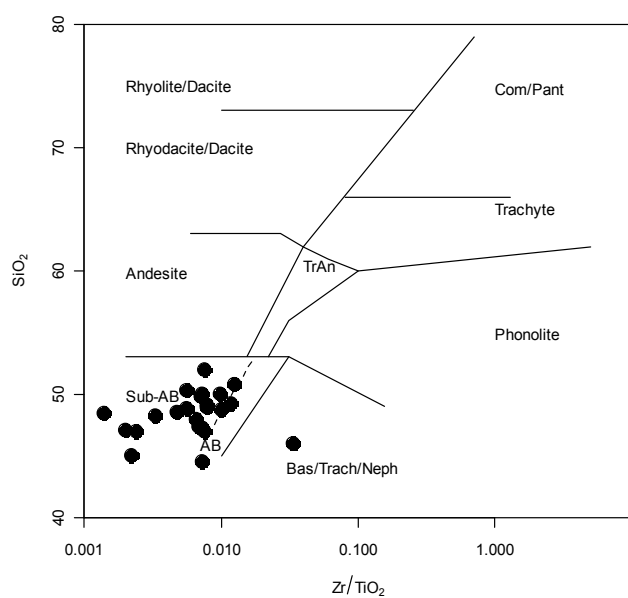
بررسی ترکیب شیمیابی عناصر اصلی و فرعی نمونه‌های تجزیه شده نشان می‌دهد که آمفیبولیت‌های مورد بررسی از دگرگونی سنگ‌های آذرین حاصل شده‌اند (ارتوامفیبولیت). مقدار بالای Cr و مقدار پایین Na_2O و K_2O نشانگر خاستگاه آذرین این آمفیبولیت‌هاست. ترکیب شیمیابی این سنگ‌ها با ترکیب



شکل ۳ نمودار شناسایی آمفیبولیت‌های ارتو از پارا از [۱۲]. چنانکه دیده می‌شود بیشتر نمونه‌های آمفیبولیتی مورد بررسی در گستره‌ی با خاستگاه آذربین قرار می‌گیرند.



شکل ۴ نمودار رده‌بندی سنگ‌های آتشفشانی از [۱۳]. براساس این نمودار بیشتر نمونه‌های آمفیبولیتی مورد بررسی در گستره‌ی بازالت قرار دارند.



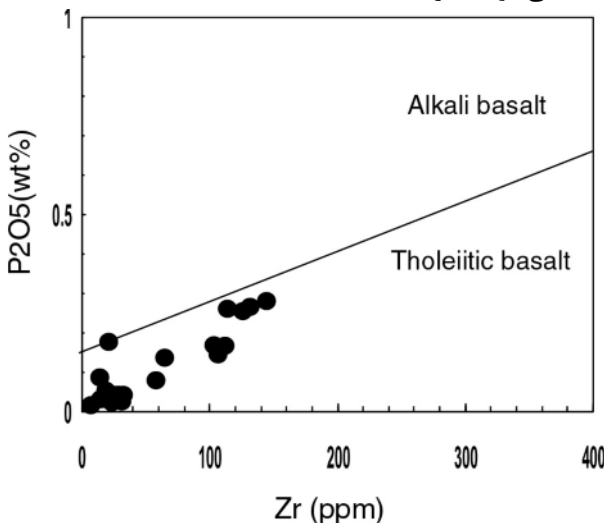
شکل ۵ نمودار رده‌بندی سنگ‌های آتشفشانی از [۱۴]. براساس این نمودار بیشتر نمونه‌های آمفیبولیتی مورد بررسی در گستره‌ی بازالت شبه قلیابی واقع شده‌اند.

تحولی را مشخص کرده است [۱۵] برای تعیین سری مagmaی از عناصر نامتحرك استفاده شد. نمونه‌های تجزیه شده روی نمودار Zr/P_2O_5 نسبت به Ta/Yb [۱۶] برده شد و چنانکه دیده می‌شود تمام نمونه‌ها در گستره‌ی بازالت‌های تولئیتی قرار می‌گیرند (شکل ۶). هم چنین تعدادی از نمونه‌ها که عناصر موردنیاز برای ترسیم در نمودار Th/Yb نسبت به Ta/Yb [۱۷] را

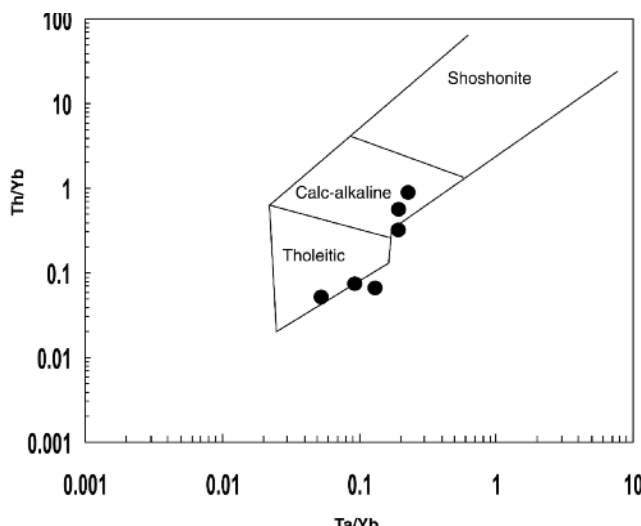
تعیین سری magmaی سنگ‌های آذربین اولیه منظور از یک سری magmaی، مجموعه‌ای از سنگ‌های مختلف است که از یک magmaی مادر بازی اولیه جدا شده کرده‌اند. بررسی‌های فراوان روی ژئوشیمی بازالت‌ها که فراوان‌ترین سنگ‌های خروجی هستند، وجود پنج پنجم magmaی شامل سری تولئیتی، قلیابی، آهکی-قلیابی، شوشوونیتی و سری

سری آهکی-قلیایی و تولئیتی تعلق دارند (شکل ۷).

داشتند (نمونه‌های گارنتدار و بدون گارنت مولف) در این نمودار ترسیم شدند و چنانکه مشاهده می‌شود به ترتیب به



شکل ۶ نمودار تعیین رشته‌ی ماغمای از [۱۵]. چنانکه دیده می‌شود تمامی نمونه‌های آمفیبولیتی مورد بررسی در گستره‌ی بازالت تولئیتی قرار گرفته‌اند.



شکل ۷ نمودار تعیین سری ماغمای از [۱۶]. چنانکه دیده می‌شود نمونه‌های آمفیبولیتی به دو سری مجزا تقسیم شده‌اند به طوری که نمونه‌های گارنتدار با سری آهکی-قلیایی و نمونه‌های بدون گارنت به رشته‌ی تولئیتی وابسته‌اند.

این روندها به سبب تبلور جدایشی ماغمای بازالتی قبل درک است. برآش منفی با Zr با تبلور فازهایی از قبیل الیوین، پیروکسن و پلازیوکلаз طی جدایش ماغما هم خوانی دارد. برآش مثبت بین TiO_2 , P_2O_5 و مقادیر Zr ممکن است جدایش ایلمنیت و یا آمفیبول غنی از Ti را نشان دهد. بقیه اکسیدهای روندهای ضعیف و خیلی پراکنده نشان می‌دهند که به

بررسی تغییرات عناصر اصلی، کمیاب و نادر خاکی برای بررسی تغییرات عناصر اصلی و کمیاب، نمودار تعدادی از آنها نسبت به عنصر Zr ترسیم شد (شکل‌های ۸ و ۹). در رابطه با اکسیدهای عناصر اصلی، اکسیدهای TiO_2 و P_2O_5 روند مثبت و اکسیدهای CaO و MgO روند منفی نشان می‌دهند. هم چنین در رابطه با عناصر کمیاب، تمامی عناصر کمیاب ترسیم شده، روند مثبت مشخصی را نشان می‌دهند.

مثبت عنصر Pb به خوبی قابل مشاهده است که حاکی از آایش با پوسته‌ی قاره‌ای است و به احتمال نشان دهنده‌ی محیط پشت قوس سیالیک است.

بی‌亨جارتی مثبت مشخصی نیز در عنصر Sr در نمونه‌های بدون گارنت دیده می‌شود که حضور پلازیوکلاز زیاد در این نمونه‌ها نسبت به نمونه‌های گارنت‌دار را نشان می‌دهد.

چنانکه از نمودارهای REEs و عنکبوتی پیداست آمفیبولیت‌های گارنت‌دار و آمفیبولیت‌های بدون گارنت از نظر الگوی REEs و نمودار عنکبوتی با هم اختلاف دارند که این امر نشان دهنده‌ی اختلاف شیمی سنگ‌مادر این سنگ‌هاست که باعث شده است در یک دما و فشار معین پس از دگرگونی در یک سنگ گارنت تشکیل شود و در سنگ دیگر گارنت به وجود نیاید.

بررسی محیط زمین‌ساختی تشکیل آمفیبولیت‌های منطقه اولین بار [۴، ۱۹] نظریه‌ی استفاده از شیمی سنگ کل برای شناسایی ماگماهای مربوط به محیط‌های زمین‌ساختی مختلف را ارائه دادند. البته بنابر نظر ایشان نمودارهای جدایشی به‌ندرت محيط زمین‌ساختی قدیمی را بدون ابهام تعیین می‌کنند. این نمودارها در بهترین حالت احتمال وجود یک محيط زمین‌ساختی را نشان می‌دهند و هرگز نباید از آنها برای اثبات بی‌قید و شرط وجود یک محيط زمین‌ساختی استفاده کرد.

غلوظت عناصر تشکیل دهنده‌ی یک ماگمای اولیه تابعی از غلوظت عناصر در گوشته، میزان ذوب، فرایندهای تبلور جدایشی و تأثیرهای آایش پوسته ایست. بین آن‌ها عناصر کمیاب بیشتر ماهیت ماگمای اولیه را نشان می‌دهند. نمودارهای مختلف جدا-کننده‌ی محیط‌های زمین‌ساختی برای شناخت محيط زمین-ساختی احتمالی تشکیل سنگ‌های آمفیبولیتی منطقه‌ی مورد بررسی استفاده شده‌اند. در نمودار V نسبت به Ti به نقل از [۲۰] نمونه‌های آمفیبولیتی منطقه‌ی مورد بررسی به دو بخش تقسیم شده‌اند بخشی در گستره‌ی قوس واقع شده‌اند (شکل ۱۱).

با توجه به اینکه محیط‌های زمین‌ساختی حوضه‌ی پشت قوس قاره‌ای می‌توانند ویژگی MORB و IA را به طور هم زمان نشان دهند، لذا ممکن است سنگ‌های آمفیبولیتی مورد بررسی در چنین محيط زمین‌ساختی بوجود آمده باشند. در چنین محیط‌های زمین‌ساختی، دامنه‌ی ترکیبی سنگ‌های

ناهمگنی ترکیب ماگما یا توزیع دوباره طی دگرگونی اشاره دارد.

در قوس‌های نمادین ماگمایی، فراوانی Ba، Rb، LILEs، K، Th، U، Sr، Nd، Nb، Ce) HFSEs (Yb، Y، Eu، Zr، Sm بلور/آبغون بوده و به طور طبیعی نسبت به LILEs هستند [۲]. تعدادی از آمفیبولیت‌ها به طور طبیعی غنی از HFSEs و تهی از LILEs هستند. این ویژگی به خاستگاه گوشه‌های مشابه با E-MORB ها و BABB ها (بازالت‌های حوضه پشت قوس) اشاره دارد.

برای بررسی عناصر نادر خاکی در نمونه‌ها، ۳ نمونه از آمفیبولیت‌های گارنت‌دار و ۳ نمونه از آمفیبولیت‌های بدون گارنت که تمامی عناصر مورد نیاز آنالیز شده بودند انتخاب، و نخست نسبت به کندریت [۱۸] و سپس نسبت به [۱۸] بهنجار شدند (شکل ۱۰). بررسی نمودار بهنجار شده نسبت به کندریت نشان دهنده‌ی غنی شدگی نمونه‌های مورد بررسی نسبت به کندریت بوده و نیز چنین نمونه‌های گارنت‌دار نسبت به نمونه‌های بدون گارنت از مقادیر REE بالاتری برخوردارند. همچنین در این آمفیبولیت‌ها مقادیر LREE نسبت به MREE و HREE فراوانی بالاتری دارند و در رابطه با نمونه‌های بدون گارنت مقادیر LREE نسبت به MREE و HREE فراوانی پایینی را داراست که نشان دهنده‌ی خاستگاه متفاوت و یا نرخ ذوب متفاوت خاستگاه در شکل‌گیری این سنگ‌هاست. بی‌亨جارتی مثبت مشخصی در عنصر Eu در نمونه‌های بدون M-109= ۱.۳۸، M-126= ۱.۲۶ و M-129= ۱.۳۰ که حاکی از حضور پلازیوکلاز فراوان در این سنگ‌ها نسبت به نمونه‌های گارنت دار است به طوری که مشاهدات سنگ‌نگاری نیز این مسئله را تأیید می‌کند.

در نمودار بهنجار شده نسبت به NMORB چنانکه مشاهده می‌شود نمونه‌های گارنت‌دار نسبت به نمونه‌های بدون گارنت از تمامی عناصر غنی‌ترند و نمونه‌های بدون گارنت به جز عناصر LILEs نسبت به NMORB فقیرترند و به ترکیب بازالت‌های مورب عادی نزدیک‌ترند. همچنین درین این دو دسته سنگ، عناصر LILEs بیشترین جدایش و HREEs کمترین جدایش را نشان می‌دهند. با این حال در هر دو دسته، بی‌亨جارتی

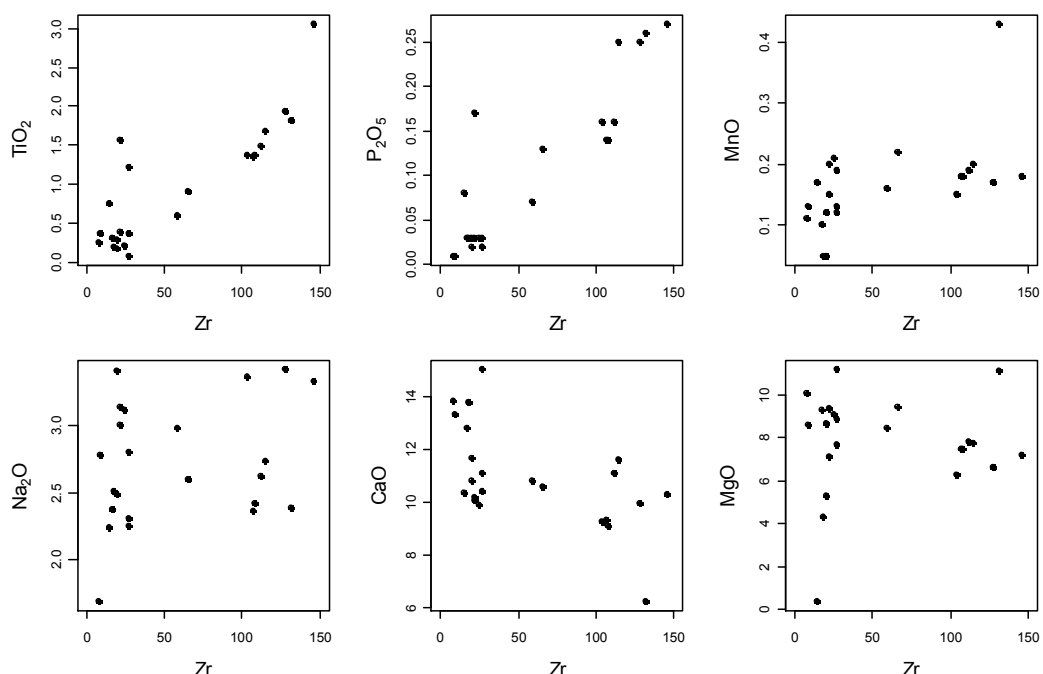
توله ایتی وابسته‌اند. هم چنین از نظر محیط زمین‌ساختی نیز در دو محیط زمین‌ساختی بازالت کف اقیانوسی و قوس قراردارند که به روشنی در نمودارهای REE و عنکبوتی قابل جدایش‌اند.

با توجه به اینکه محیط‌های زمین‌ساختی حوضه‌ی پشت قوس قاره‌ای می‌توانند ویژگی MORB و IA را به طور هم زمان نشان دهند. لذا ممکن است سنگ‌های آمفیبوليتي مورد بررسی در چنین محیط زمین‌ساختی به وجود آمده باشند.

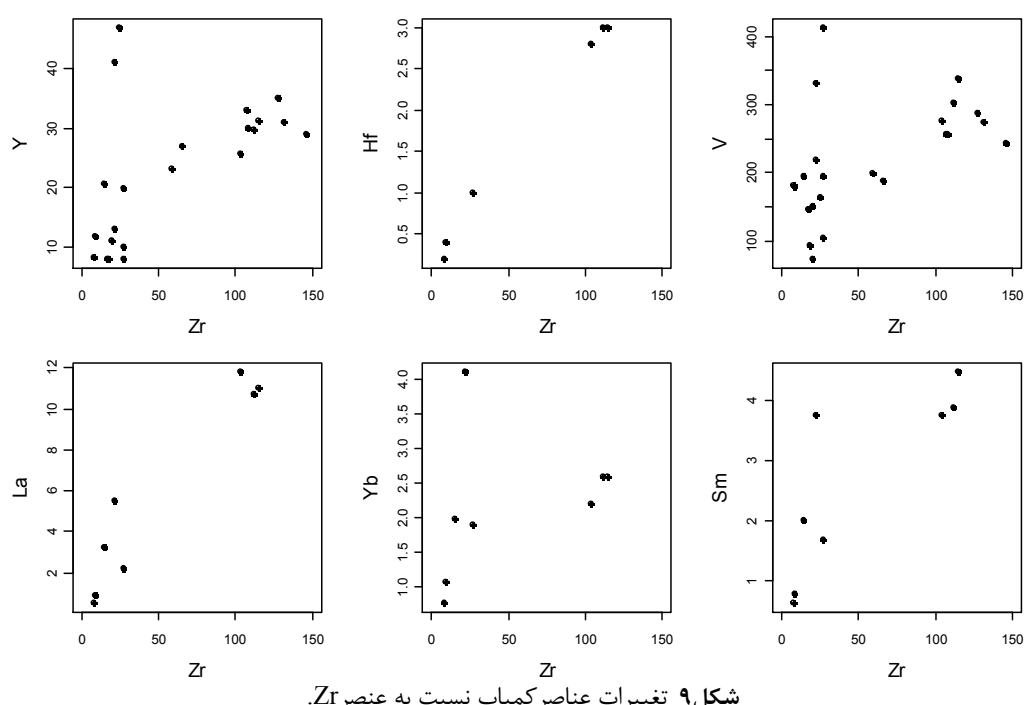
بازی متغیر است، لذا می‌توان تغییرات در الگوی REEs را به این مسئله نسبت داد. با این حال نباید تأثیر دگرنهادی بعدی در اثر تزریق توده‌های گرانیتی S-type که در کنار آمفیبوليتي‌های گارنت‌دار قرار دارند و درجه‌ی دگرگونی و دگرسانی روی الگوی بالا را نادیده گرفت.

برداشت

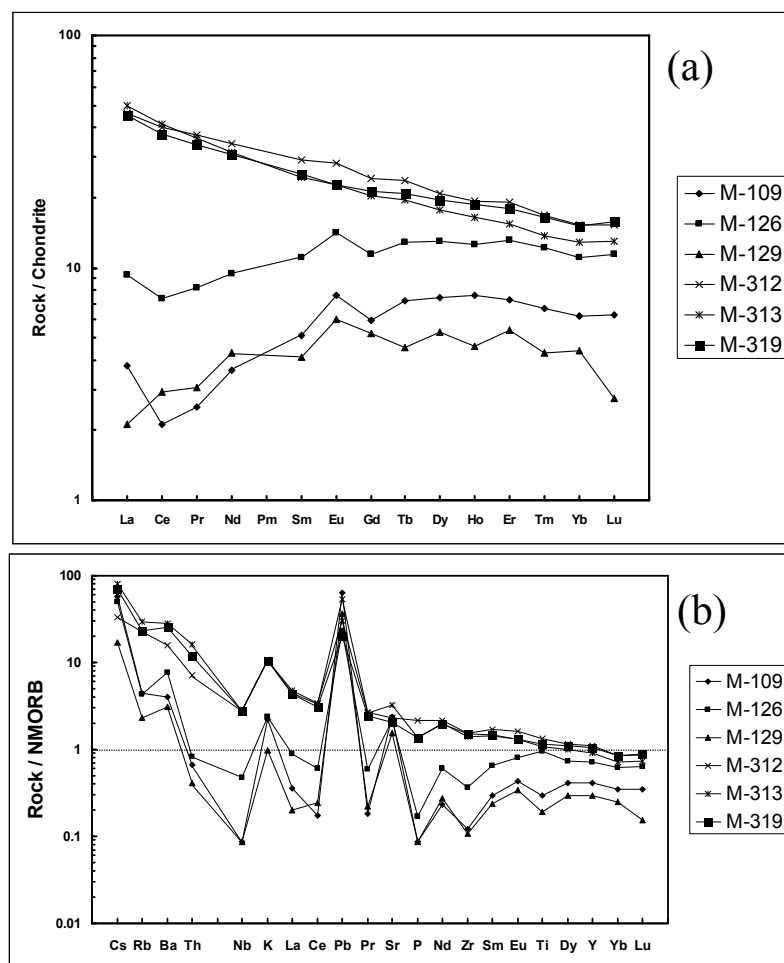
سنگ‌های آمفیبوليتي مورد بررسی جزء ارتواآمفیبولييت‌ها بوده و به دو گروه کلی گارنت‌دار و بدون گارنت تقسیم می‌شوند. از این نظر سری ماقمایی به ترتیب به دو گروه آهکی-قلیایی و



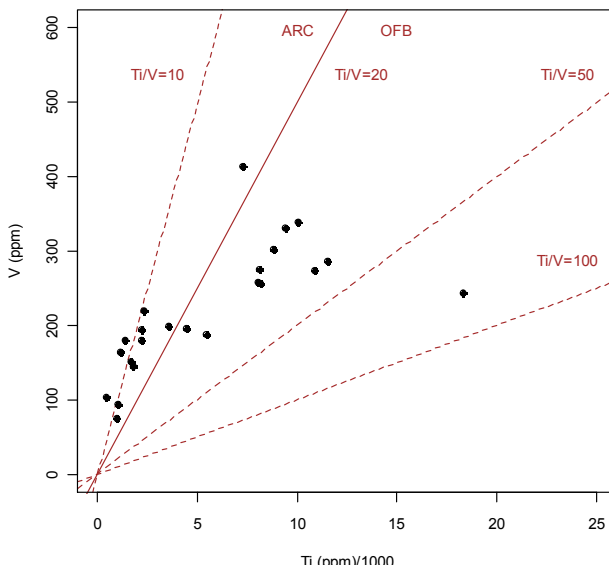
شکل ۸ تغییرات عناصر اصلی نسبت به عنصر Zr.



شکل ۹ تغییرات عناصر کمیاب نسبت به عنصر Zr.



شکل ۱۰ a- نمودار بهنجار شده به کندریت و b- بهنجار شده به گوشته اولیه (مقادیر بهنجار شده از [۱۸])، چنانکه دیده می شود نمونه های بدون گارنت (M-109, M-126, M-129) نسبت به نمونه های گارنت دار (M-312, M-313, M-319) از بی هنجاری مثبت Eu برخوردارند. هم چنین یک جدایش نیز در عناصر نادر خاکی سبک بین نمونه ها گارنت دار و بدون گارنت در هر دو نمودار مشاهده می شود.



شکل ۱۱ براساس نمودار V نسبت به Ti از [۲۰]. نمونه های آمفیبولیتی مورد بررسی به دو محیط بازالت های کف اقیانوسی و بازالت های جزایر قوسی قابل تقسیم اند.

قدردانی

نویسنده گان مقاله مراتب سپاس و تشکر خود را به داوران مجله بلورشناسی و کانی شناسی ایران به خاطر نظرهای سازنده شان باز از دارند. هم چنین از معاونت محترم پژوهشی دانشگاه تبریز به خاطر حمایت مالی تشکر و قدردانی می شود.

مراجع

- [5] White W.M., "Geochemistry: an on-line text book", <http://www.imwa.info/Geochemie>, John-Hopkins University press (2001).
- [6] Seewald J.C., Seyfried W.E., "The effect of temperature on metal mobility in sub sea floor hydrothermal systems: constraints from basalts alteration experiments", Earth and Planetary Science Letters 101 (1990) 388-403.
- [7] Khalatbari-jafari M., Juteau T., Cotton J., "Petrological and geochemical study of the late cretaceous ophiolite of Khoj (NW Iran), and related geological formations", Journal of Asian Earth Sciences 10 (2005) 1-38.
- [8] Moazzen M., Oberhänsli, R., "Whole rock and relict igneous clinopyroxene geochemistry of ophiolite-related amphibolites from NW Iran-Implications for protolith nature", Neues Jahrbuch für Mineralogie-Abhandlungen 185/1 (2008) 51-62.
- [9] Khalatbari-jafari M., Juteau T., Bellon H., Whitechurch H., cotton J., Emami H., "New geological, geochronological and geochemical investigation on the Khoj ophiolites and related formations, NW Iran", Journal of Asian Earth Sciences 23 (2004) 507-535.
- [1] Coish R. A., "Rift and Ocean floor volcanism from the late Proterozoic and early Palaeozoic of the Vermont Appalachian. In: Sinha, A. K., Whalen, J. B., Hogan, J. P. (eds.): The nature of magmatism in the Appalachian Orogen", Geological Society of America Memoir 191 (1997) 129-145.
- [2] Rollinson H., "Using geochemical data: evaluation, presentation, interpretation", Longman Group, UK 1st ed. (1993) 352.
- [3] Floyd P.A., Winchester J.A., "Identification and discrimination of altered and metamorphosed volcanics using immobile elements", Chemical Geology 21 (1978) 291-306.
- [4] Pearce J.A., Cann G.R., "Tectonic setting of basic volcanic rocks determined using trace elements analysis", Earth and Planetary Science Letters 19 (1973) 290-300.

- and metamorphosed basic igneous rocks", Earth and Planetary Science Letters 28 (1976) 459–469.*
- [17] Pearce J. A., "Trace element characteristics of Lavas from destructive plate boundaries", In: THROPE, R. D. (Ed.): Andesites: Orogenic Andesites and Related Rocks: John Wiley & Sons, London (1982) 525–548.
- [18] Sun S.S., McDonough W.F., "Chemical and isotopic systematics of oceanic basalts: implications for mantle composition and processes. In: Saunders, A.D., Norry, M.J. (Eds.), Magmatism in ocean basins", Journal of the Geological Society of London 42 (1989) 313–347.
- [19] Pearce J.A., Cann G.R., "Ophiolite origin investigated by discriminant analysis using Ti, Zr, and Y", Earth and Planetary Science Letters 12 (1971) 339–349.
- [20] Shervais J. W., "Ti-V plots and the petrogenesis of modern and ophiolitic lavas", Earth and Planetary Science Letters 59 (1982) 101–118.
- [21] Radfar J., Amini B., "Geology Map of the Khoy Quadrangle (1:100,000)", Geological Survey of Iran (1999).
- [10] عزیزی ح، معین وزیری ح، یعقوب پور الف، مجله م.، "گرانیتوئیدهای میلیونیتی در شمال خوی"، مجله علوم دانشگاه تهران، ۷ (۱۳۸۰) ص ۸۱-۱۰۱.
- [11] Taylor S.R., McLennan S.M., "The continental crust: Its composition and evolution", Blackwell, London (1985) 312.
- [12] Leake B. E., "The chemical distinction between ortho and para-amphibolites", Journal of Petrology 5 (1964) 238–254.
- [13] Pearce J.A., "A user guide to basalt discrimination diagrams, In: application for massive sulphide exploration", Geological Association of Canada Short Course Notes 12 (1996) 79-13?
- [14] Winchester J.A., Floyd P.A., "Geochemical discrimination of different magmas series and their differentiation products using immobile elements", Chemical Geology 16 (1977) 325-343.
- [15] Wilson M., "Igneous petrogenesis, a global tectonic approach", Chapman and Hall. (1993) 466.
- [16] Winchester J.A., Floyd P.A., "Geochemical magma type discrimination, application to altered